

구동방식을 고려한 브러시리스 전동기의 특성해석

이재건, 박창수, 이정중, 조한익, 홍정표, 이근호*
 창원대학교 전기공학과, 남해전문대학 전기과*

Characteristic Analysis of Brushless Motor Considering Drive Type

Jae-Gun Lee, Chang-Soo Park, Jung-Jong Lee, Geun-Ho Lee, Han-Ik Cho, Jung-Pyo Hong
 Dept. of Electrical Eng. Changwon Nat'l University, Dept. of Electricity Namhae College*

Abstract - This paper deals characteristic analysis of brushless motor considering drive type. It is to divide operation with 120° and 180° conduction and to predict the current waveform and the instantaneous torque of each type using analysis method. The results of the simulation are compared the experiment.

를 통해서 환류(free wheeling)작용이 발생하고, 3상이 동시에 통전하는 구간이 발생한다. 따라서 120도 도통형의 경우에는 2상이 통전되는 경우와 3상이 통전되는 경우의 회로동작을 각각 고려해야한다.

1. 서 론

최근 에너지 밀도가 높은 영구자석을 이용한 브러시리스 전동기의 수요가 증가하고 있다. 기존의 직류전동기가 기계적인 스위칭을 하는 것에 비해서 브러시리스 전동기는 반도체 소자를 이용하여 전동기를 구동한다. 이러한 브러시리스 전동기의 전류 및 토크 특성은 구동회로에 의해서 영향을 많이 받으므로 구동방식에 따른 특성해석이 요구된다.

브러시리스 전동기의 구동방식은 도통방법에 따라 크게 3상 바이폴라 120도 도통형 구동방식(이하 120도 도통형) 및 180도 도통형 구동방식(이하 180도 도통형)으로 나눌 수 있다. 각 구동방식에 따라 브러시리스 전동기의 토크 및 출력특성은 많은 차이를 보이며, 각 구동방식과 구동회로의 회로동작을 고려한 특성해석이 필요하다. 본 논문에서는 도통방식을 고려한 전압방정식을 유도하고, 수치해석 기법인 Runge-Kutta 법을 이용하여 각 구동방식에 따른 미분방정식의 해를 구하였다. 브러시리스 전동기의 무부하, 부하 실험을 통해서 전류파형과 순시토크의 해석 결과의 타당성을 검증하고, 구동방식에 따른 브러시리스 전동기의 특성해석을 비교하였다.

2. 본 론

2.1 해석 모델

브러시리스 전동기의 특성해석에 사용된 전동기는 그림 1과 같은 공극이 전동기 축과 수평한 평면형(Axial-gap type)이다. 평면형은 공극이 크고 공심형 코일을 가지고 있으므로 브러시리스 전동기의 가장 큰 해결과제인 코깅토크가 없으며 저속도에서 일정한 속도 운전이 가능하다. 그리고 축방향 길이를 작게 할 수 있는 특징이 있다. 그러나 코일에서 발생하는 열을 전달 할 경로가 차단되어 열전도가 불량하여 방열에 문제가 있다. 토크 특성 해석을 위하여 실험에 사용된 브러시리스 전동기는 평면형으로 전동기 파라미터는 표 1과 같다. [1]

2.2 해석 방법

브러시리스 전동기의 특성해석을 위한 회로도는 그림 2와 같다. 이상적인 경우에 브러시리스 전동기의 120도 도통형은 상전류가 60° 간격으로 2상이 통전되고, 180도 도통형 구동방식은 3상이 통전된다. 그러나 전류(commutation) 순간에 120도 도통형은 권선 인덕턴스의 영향으로 상전류가 전동기 드라이브단의 다이오드

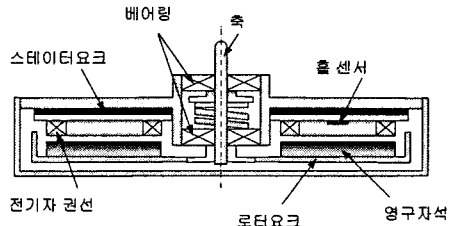


그림 1 평면형 브러시리스 전동기

표 1 평면형 브러시리스 전동기 파라미터

| 항 목 | 인가전압 [V] | 저항 [Ω] | 인덕턴스 [mH] | 회전속도 [rpm] |
|-----|----------|--------|-----------|------------|
| 수 치 | 24 | 0.7 | 0.3 | 2600 |

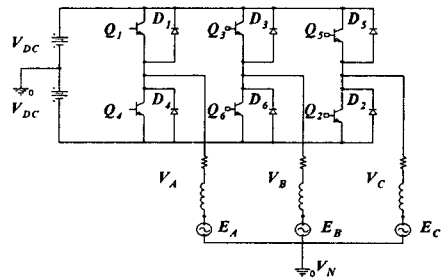


그림 2 브러시리스 전동기 회로

전동기 회로 해석은 전압방정식을 사용하였으며, 해석을 하기 위한 가정을 다음과 같이 하였다. [2]

- 정상상태에서 회전수는 일정하다.
- 변위에 따른 인덕턴스의 변화는 없다.
- 스위칭 소자에서의 전압강하는 무시한다.
- 역기전력은 정현파이다.

일반적으로 전동기의 동작특성을 결정하는 상 전압방정식은 식 (1)과 같고, 각 상의 역기전력은 역기전력 상수와 각속도를 고려하여 식 (2)와 같이 산정하였다.

$$V = R_A i_A + L_A \frac{di_A}{dt} + E_A \tag{1}$$

$$E_A = k_A \omega \tag{2}$$

여기서, V 는 상전압[V], R_A 는 상당 권선 저항[Ω], L_A 는 상당 권선 인덕턴스[mH], E_A 는 상당 역기전력 [V], k_E 는 역기전력 상수, w 는 각속도[rpm]이다.

브러시리스 전동기에서 순시토크는 전동기 출력과 각 속도로 부터 구할 수 있으며, 아래의 식과 같다.[3]

$$P_{out} = Ei = wT, \quad T = \frac{Ei}{w} \quad (3)$$

여기서, P_{out} 는 출력[W], T 는 순시토크[Nm]이다.

2.2 120도 도통형 구동방식의 특성해석

이상적인 120도 도통형에서의 전류 파형을 그림 3에 나타내었다. 그림 3에서 60° 간격으로 스위칭이 되는 경우 소자 상태에 따른 전류의 경로를 그림 4에 나타내었다.

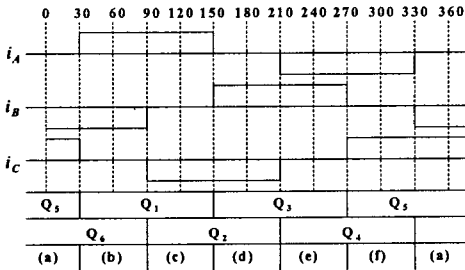


그림 3 120도 도통형 구동방식의 전류파형

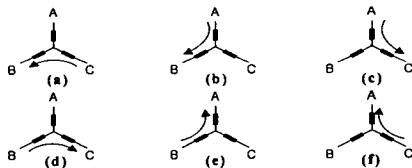


그림 4 120도 도통형의 권선 전류 방향

120도 도통형의 특성해석을 위해서는 2상이 통전되는 구간과 스위칭이 On/Off 되는 시점에서 3상이 통전되는 구간을 각각 고려해야한다. 본 논문에서는 각 도통 상태를 고려하여 한 상에 대한 전압방정식을 구성하였다.

여기서, 상전압 (V_{pi})는 단자전압 (V_{DC})과 중성점 전압 (V_N)의 차로 나타내며, 식 (4)와 같다. 그림 2에서 V_A, V_B, V_C 는 각 상에서의 단자전압을 나타낸다. 중성점 전압은 2상 또는 3상 통전시 중성점에 걸리는 단자전압과 역기전력의 평균값으로 나타낸다.

$$V_{pi} = V_i - V_N \quad (i = A, B, C) \quad (4)$$

2.2.1 2상이 통전되는 경우

그림 3과 4는 2상 통전 구간을 나타내고 있다. 그림 4(b)의 경우는 A상과 B상이 통전되어 있는 상태이며, 전류가 A상에서 B상으로 흐르고 있다. 이 때의 중성점 전압, 각 상의 단자 전압과 A상의 상전압은 식 (5)와 같다.

$$V_N = \frac{V_A + V_B - (E_A + E_B)}{2} \quad (5)$$

$$V_A = V_{DC}, \quad V_B = -V_{DC}$$

$$V_{\mu A} = V_A - V_N$$

여기서, E_A, E_B 는 각각 A, B 상의 역기전력이다.

2.2.2 3상이 통전되는 경우

120도 도통형에서 3상이 통전되는 구간은 한 상을 기준으로 보았을 때 크게 세 부분으로 나누어진다. 한 상의 전류가 상승하는 구간과 소호되는 구간, 그리고 다른 상이 스위칭 On/Off되는 구간이다. A상을 기준으로 볼 때 그림 3에서 각각 30°, 90°, 150° 구간이다. 3상 통전시 중성점 전압과 상전압은 식 (6)과 같다.

$$V_N = \frac{V_A + V_B + V_C}{3}, \quad V_{\mu A} = V_A - V_N \quad (6)$$

여기서, 전류가 3상 평형이면 역기전력의 합은 항상 0이 되므로 중성점 전압에서 역기전력 항을 무시하였다.

2.3 180도 도통형 구동방식 특성해석

180도 도통형의 전류파형을 그림 5에 나타내었다. 그림 5에서 60° 간격으로 스위칭이 되는 경우 소자 상태에 따른 전류의 경로를 그림 6에 나타내었다. 이 방식의 경우 항상 3상 도통 상태이기 때문에 120도 도통형에서 3상 통전 상태만을 고려하여 전압방정식을 구성하였다.

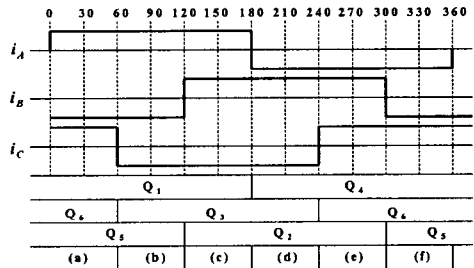


그림 5 180도 도통형 구동방식의 전류파형

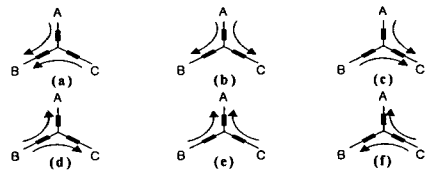


그림 6 180도 도통형의 권선 전류 방향

3. 해석 결과

3.1 120도 도통형 구동방식 해석 결과

120도 도통형의 상전류의 해석 결과와 실험값을 비교하여 그림 7에 나타내었다. 이 방식의 경우 전류의 상승 및 소호시간이 빠르고, 전류가 감소했다가 다시 증가하는 구간이 발생한다. 이러한 전류파형은 3상이 동시에 통전되는 것에 의한 영향이다.

그림 8에서는 120도 도통형과 180도 도통형의 순시토크 해석결과를 비교하여 나타내었다. 역기전력이 정현파인 경우에 두 방식의 상전류 파형의 맥동이 그림과 같은 순시토크의 리플로 나타남을 알 수 있다.

위의 해석 결과들로부터 토크, 속도, 전류 특성 곡선 (T-N-I 곡선)을 그림 9와 같이 나타낼 수 있다. 특성 해석 결과와 실험결과 사이의 오차는 드라이브단의 손실을 고려해주지 못했고, 실험 과정에서 홀센서 신호차이

정확하지 못하여 약간의 오차를 포함했기 때문에 분석된다.

3.2 180도 도통형 구동방식 해석 결과

그림 10과 11에 각각 상전류 파형과 특성곡선을 나타내었다. 180도 도통형의 경우에는 도통구간이 큰 영향으로 전류가 많이 흐르고, 순시토크는 크게 발생함을 알 수 있다. 하지만 높은 전류의 영향으로 드라이브단과 전동기에서 발생하는 손실이 크게 발생하는 것으로 고려되어진다. 실험값과 해석값과의 오차는 120도 도통형과 마찬가지로 드라이브단의 손실에 의한 영향과 홀센서 신호차에 대한 영향으로 분석된다.

표 2에는 각 구동방식의 실험값을 비교하여 나타내었다. 동일 대상의 전동기에서 120도와 180도 도통형에 따라서 출력특성 값에 차이가 나타남을 알 수 있다.

표 2 각 구동방식의 실험값 비교 (2600rpm)

| | 120도 도통형 | 180도 도통형 |
|----------|----------|----------|
| 전류[A] | 5.61 | 9.38 |
| 순시토크[Nm] | 0.281 | 0.35 |

4. 결 론

본 논문에서는 평면형 브러시리스 전동기를 대상으로 하여 각 도통 방식에 따라서 특성 해석을 수행하였다. 각 도통 방식에 맞는 전압방정식을 구현하였으며, 부하시험을 통해서 그 결과를 검증하였다. 동일한 대상의 전동기에 대해서 120도 및 180도 도통 방식에 따라서 전류 및 순시토크가 달라짐을 알 수 있었다. 180도 도통형의 경우에 순시토크가 크지만 상전류 또한 크기 때문에 높은 전류에 의한 열 손실이 발생하므로, 120도 도통형이 순시토크는 떨어지지만 타당한 구동방식인 것으로 사료된다.

[참 고 문 헌]

- [1] 박창수, 하경호, 이정중, 진영우, 이근호, 홍정표, "전용칩을 이용한 브러시리스 전동기의 구동 특성", 2002년도 대한전기학회 경남지구 춘계학술대회 논문집, 2002.
- [2] 이선권, 김용철, 강규홍, 홍정표, 김규탁, 장기찬, "브러시리스 전동기의 토크특성 해석", 2001년도 대한전기학회 하계학술대회 논문집, 783-785, 2001.
- [3] J.R. Hendershot Jr., TJE Miller, *Design of Brushless Permanent-Magnet Motors*, Magna Physics Publishing and Clarendon Press, 1994.

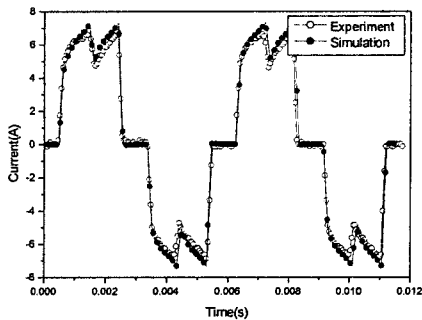


그림 7 120도 도통형의 상전류 파형 (회전속도 2600rpm)

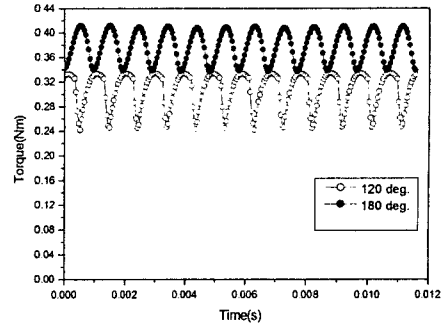


그림 8 순시토크 해석결과 (회전속도 2600rpm)

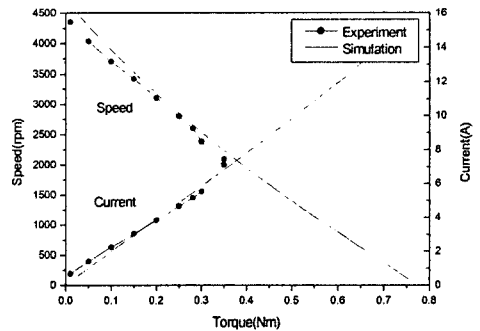


그림 9 120도 도통형 특성 곡선

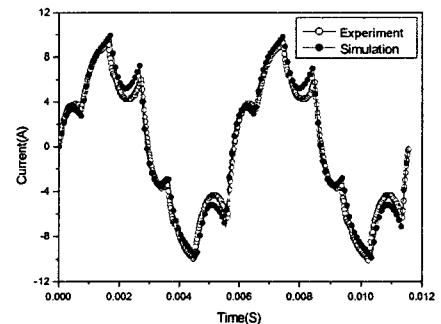


그림 10 180도 도통형 상전류 파형 (회전속도 2600rpm)

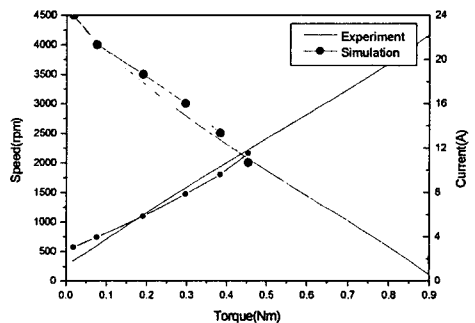


그림 11 180도 도통형 특성 곡선